

# 深層学習を用いた中央丘クレーター 自動抽出

原 聡志<sup>1</sup> 井上 博夏<sup>2</sup> 山本 光生<sup>2</sup> 山本 幸生<sup>2</sup> 大竹 真紀子<sup>2</sup>  
大竹 久志<sup>2</sup> 荒木 徹也<sup>3</sup> 廣田 雅治<sup>4</sup> 石川 博<sup>5</sup>

1. 首都大学東京 システムデザイン研究科 修士1年
2. 宇宙航空開発機構宇宙科学研究所
3. 首都大学東京 システムデザイン学部 特任助教
4. 岡山理科大学 総合情報学部 講師
5. 首都大学東京 システムデザイン学部 教授

# 目次

- 背景，研究目的
- 提案手法
- 実験結果
- まとめ，今後の課題

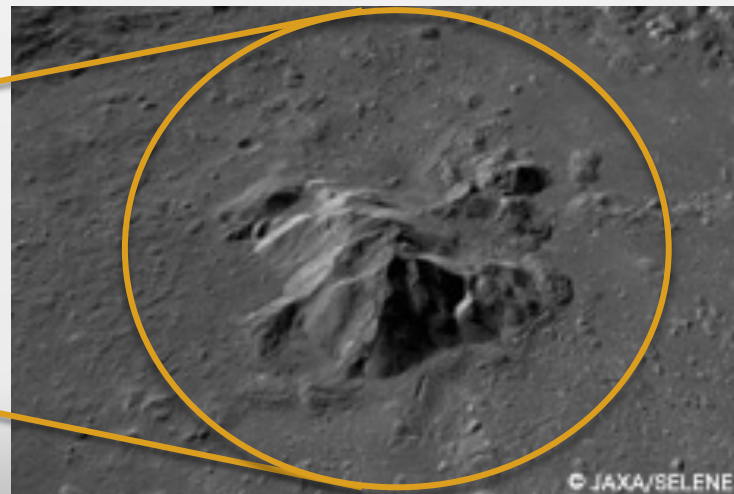
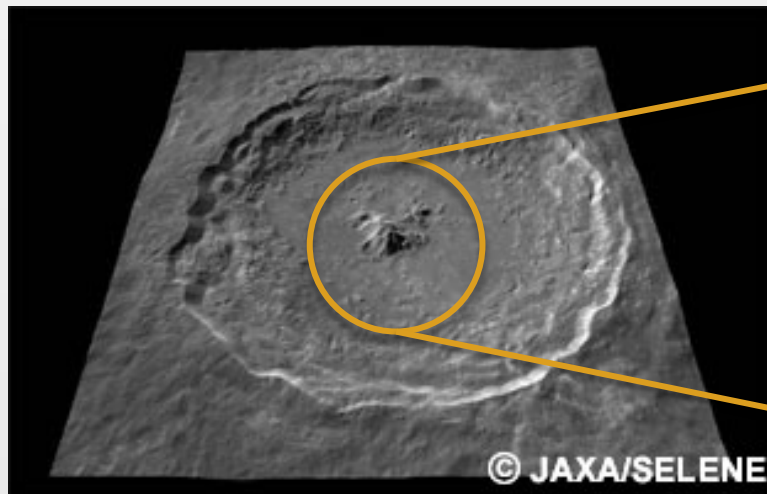
# 背景，研究目的

# 中央丘とは

中央丘 ... クレーター中央部に見られる**丘状の凸部**

中央丘では月の内部物質が表面に露出している

➡ 探査地点として有益



# 中央丘探索の課題

現状，中央丘探索のされている  
クレーターは少ない

- そもそもどのクレーターに中央丘があるのか  
網羅されたデータが無い
- 中央丘クレーターの識別は科学者による画像の  
目視等，人力での識別が大半

# 本研究の目的

## 中央丘クレーターの目録作成

人手での月面全探索は高コスト

- ➡ 情報分野からのアプローチによって  
自動探索・抽出を試みる

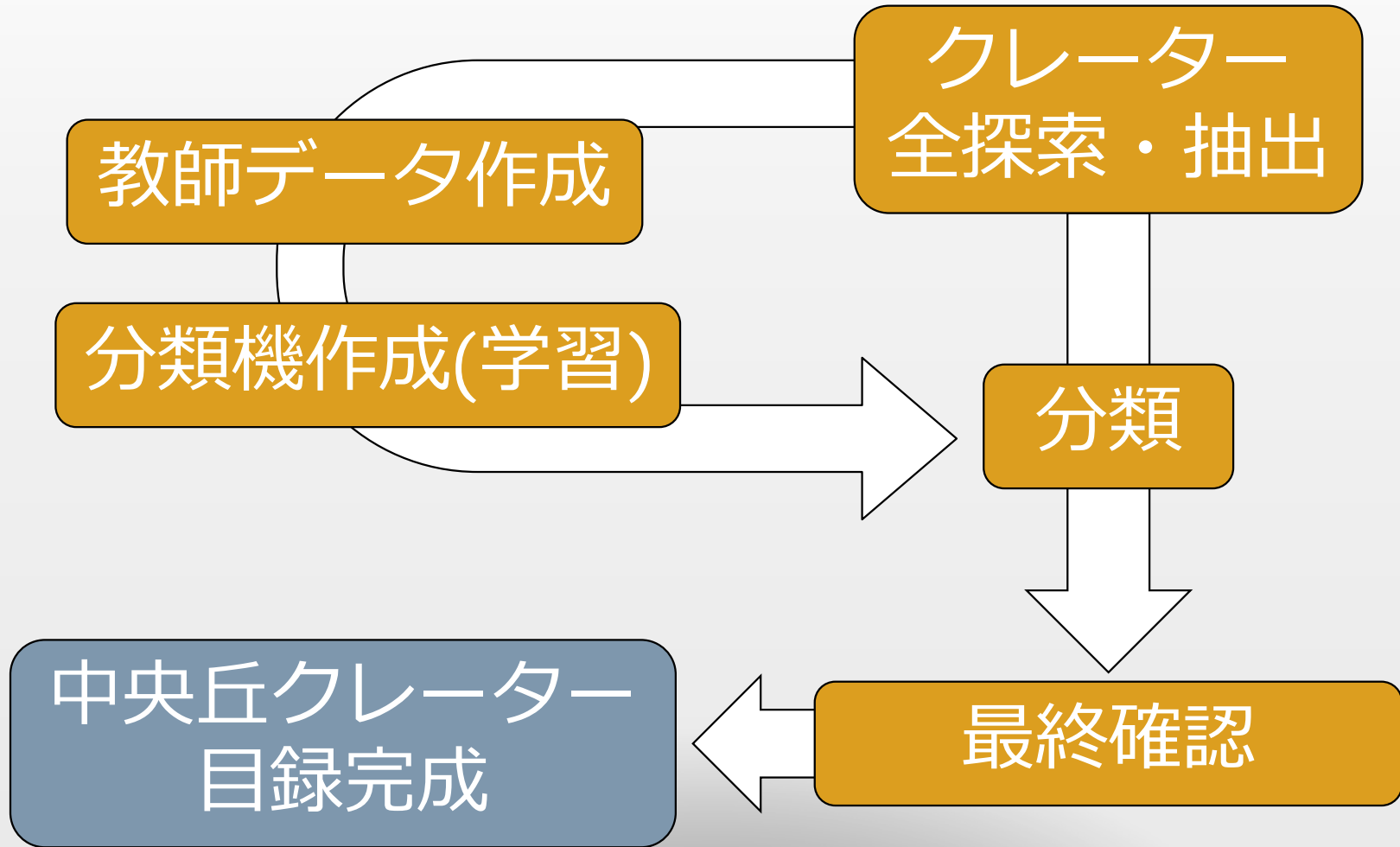
# 提案手法

# 基本方針

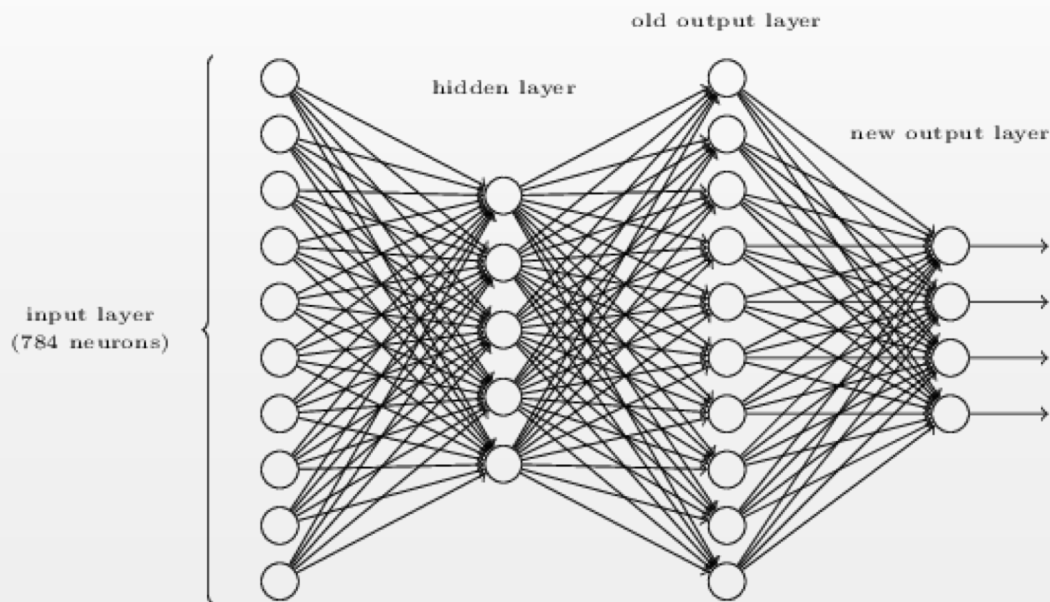
月面DEM(Digital Elevation Model)  
データが1チャンネル画像と同様に  
処理できることに着目

画像処理における機械学習手法として  
最有力である、**深層学習**および  
その関連手法を使用

# 研究の流れ



# 深層学習概略

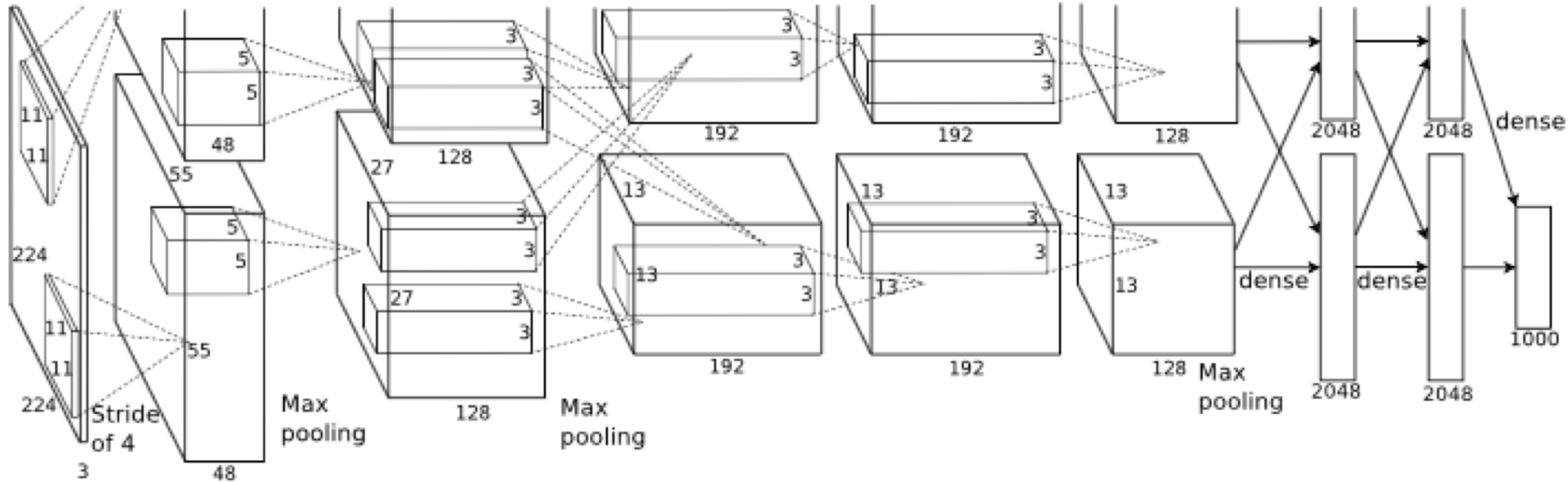


入力に対して結果を出力する**推論**，その推論を正確に行うための**学習**の2ステップがある

本研究で用いる手法は，学習に際し正しい入出力のセット，つまり教師データ群を利用する**教師あり学習**

画像: Michael Nielsen (2017) / Neural Networks and Deep Learning より

# 畳み込みニューラルネットワーク(CNN)



深層学習の中でも、画像処理に特化したもの  
通常の深層学習と同様の推論部の前に、畳み込み  
フィルタによる特徴量抽出層を設置する

画像: Alex Krizhensky 他 (2017)

# クレーター全探索・抽出

## <教師データ作成>

既に精度検証がなされている,  
既存のクレーター抽出手法を使用

## <目録作成のための全探索>

深層学習による物体検出手法を使用  
より高速な抽出を行うことで,  
目録の網羅性の向上を図る

参考: 山本 聡 他 (2015)

「回転ピクセルスワッピング法を使ったクレーター年代学」, 『日本惑星科学会誌』 Vol.24, No.1 . 12

# 教師データ作成

教師データ作成は、  
クレーター抽出 ➡ ラベル付与 の二段階

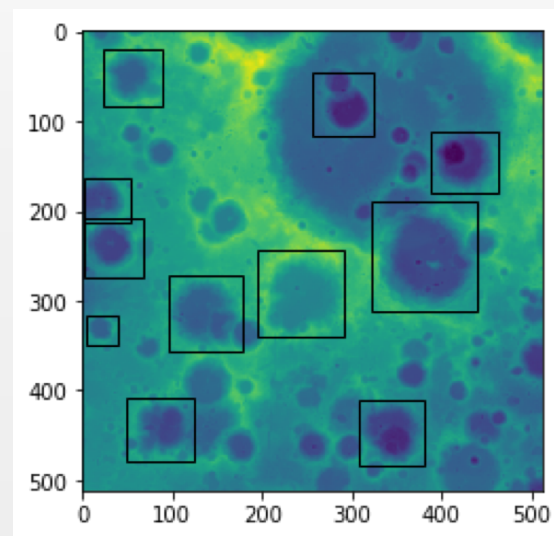
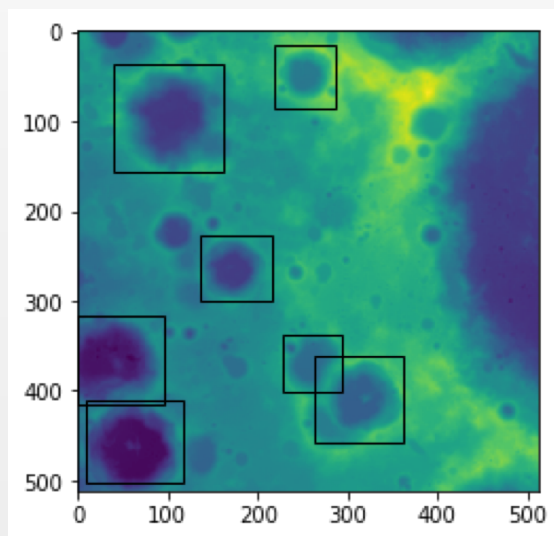
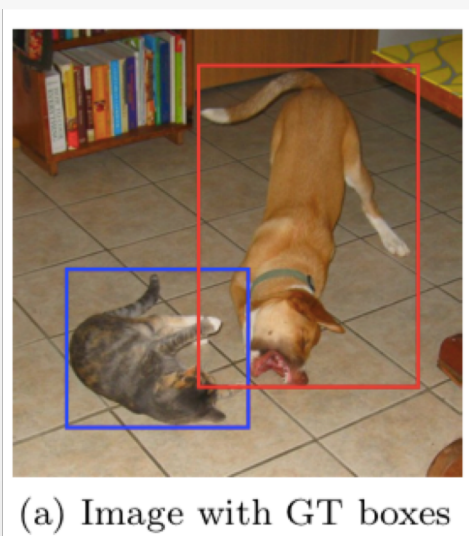
クレーター抽出にはRPSD法  
(クレーター抽出専用の非機械学習手法)を使用

ラベル付与の際は、  
中央丘クレーター・非中央丘クレーター・非クレーター  
の3ラベルに分類

参考: 山本 聡 他 (2015)

「回転ピクセルスワッピング法を使ったクレーター年代学」, 『日本惑星科学会誌』 Vol.24, No.1 .

# 深層学習による物体検出



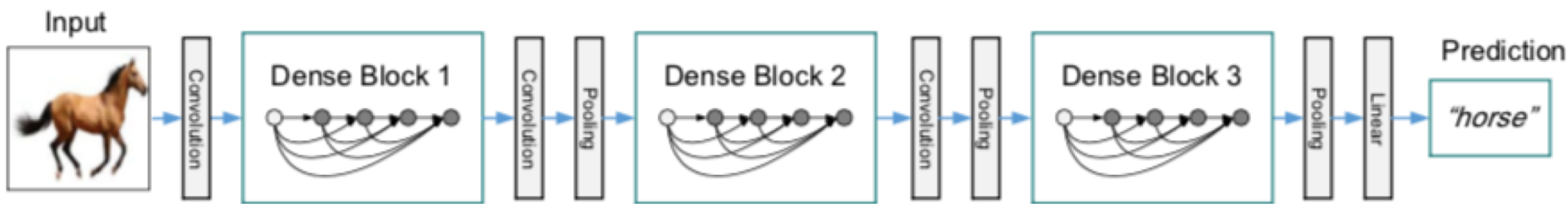
CNNを物体検出向けに改良した  
**SSD(Single Shot Detector)**を利用

入力画像から，物体の位置・大きさ・ラベルを出力する

画像: Wei Liu 他 (2016)

SSD: Single Shot MultiBox Detector より

# 深層学習による画像分類

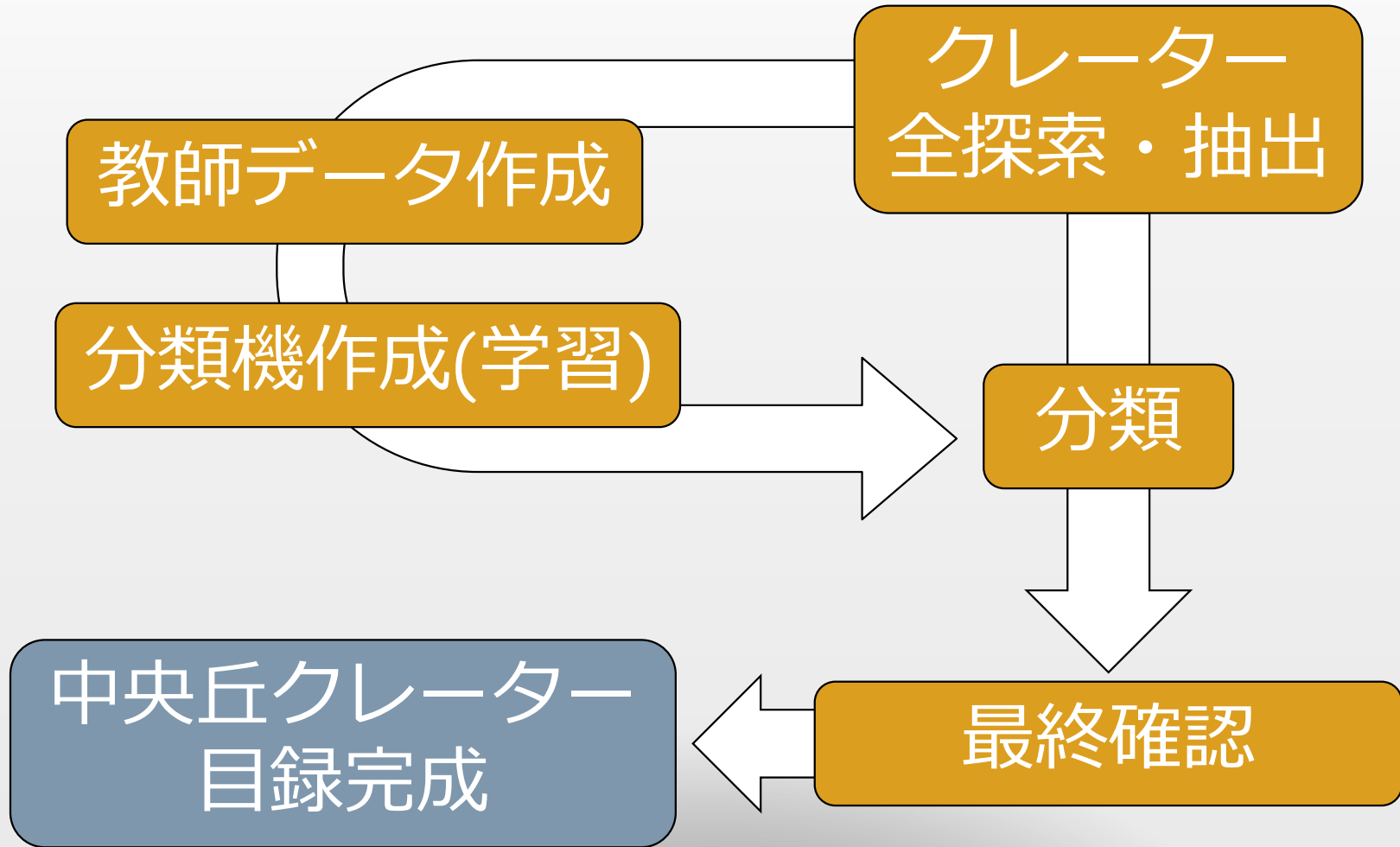


CNNの派生形, **DenseNet**を使用  
入力画像からラベルを出力する

画像: Gao Huang 他 (2016)

Densely Connected Convolutional Networks より

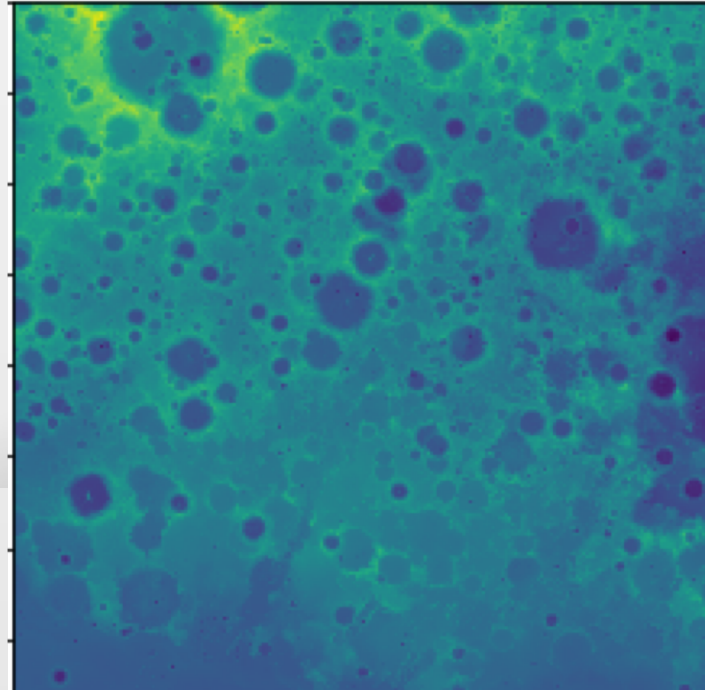
# 研究の流れ



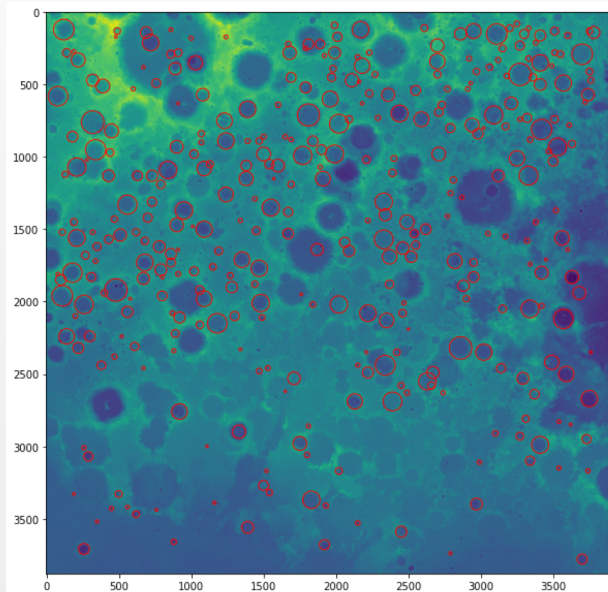
# 実験結果

# RPSD法, SSD 比較検証

- CPU: intel Xeon E5-1620 v4 4core/8thred 3.5GHz
- GPU: NVIDIA GeForce 1080Ti
- 対象領域: 北緯60度以北 (31040 \* 31040 ピクセル)
  - RPSD法では1/8に縮小, SSDでは49分割

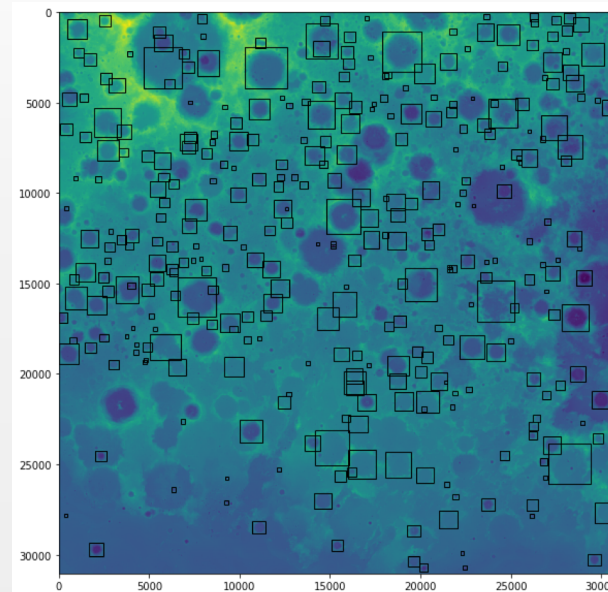


# RPSD法



- 計算時間: 412.3秒
- 検出数: 353
- うちクレーター数: 308
- 精度(適合率): 87.3%

# SSD



- 計算時間: 3.301秒
- 検出数: 339
- うちクレーター数: 317
- 精度(適合率): 93.5%

参考: 元論文でのRPSD法の計算時間は  $4096 * 4096$  ピクセルに対し約330秒

# クレーター分類精度検証

- 教師データ数: 7200枚 (2400枚 / ラベル)
  - 元データ300 \* 3枚を回転, 反転によってデータ数を8倍に拡張
  - うち300枚 (100枚 / ラベル)を評価用, 残りを学習用を使用

	中央丘有り	中央丘なし	クレーター ではない	テストデータ 全体
正解率	93.2% (recall)	85.6% (recall)	95.7% (recall)	93.3% (precision)

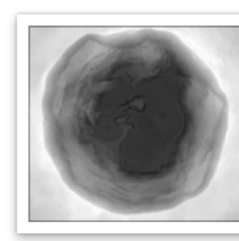
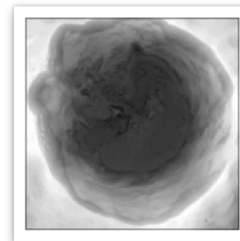
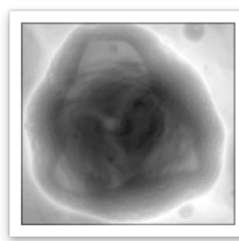
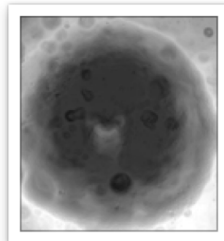
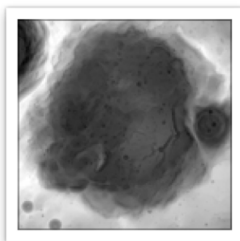
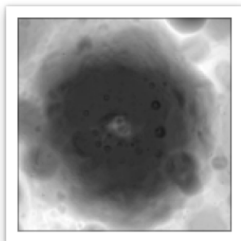
\* recall ... 正解ラベルがXのデータの中で, 分類器にXと分類されたものの割合

\* precision ... Xと分類されたデータの中で, 正解ラベルがXであるものの割合

	中央丘有り	中央丘なし	クレーター ではない	テストデータ 全体
正解率	93.2% (recall)	85.6% (recall)	95.7% (recall)	93.3% (precision)

- 全体正解率90%越えと高性能
- 本題の中央丘に関しても同様に高精度，実用に耐えうる
- 「クレーターではない」と識別されるものが多い傾向に
  - 特別な特徴がないものはクレーターではないと分類され，何かしらの特徴を有するものがその特徴に応じて「中央丘あり / なしクレーター」と分類されていると推測

# 分類結果



N07.1928334236\_E168.835030  
7941\_R040.03...\_c0.99970.png

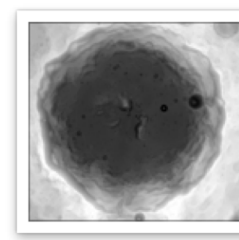
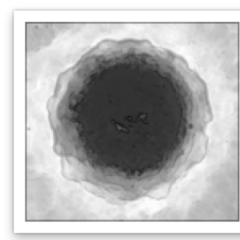
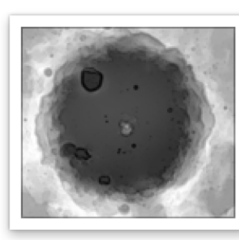
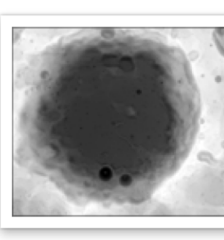
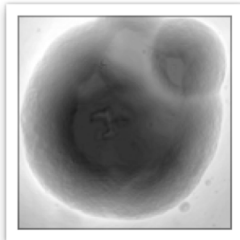
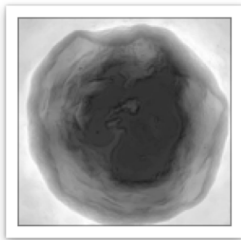
N07.2144618630\_E283.933194  
4287\_R075.943...\_c0.99959.png

N07.2369736433\_E125.659947  
4885\_R038.62...\_c0.99998.png

N07.7209050208\_E001.379871  
0704\_R023.64...m\_c0.99971.png

N08.0783306435\_E282.40616  
06824\_R041.4...\_c1.00000.png

N08.1041203439\_E322.122628  
3163\_R032.287...\_c0.99999.png



N08.1341575384\_E322.121644  
5911\_R030.804...\_c0.99999.png

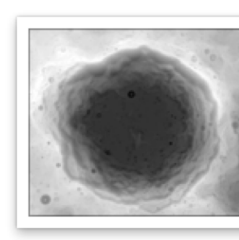
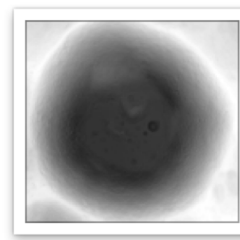
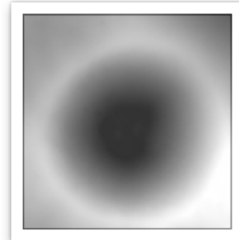
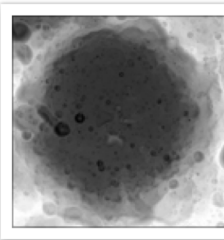
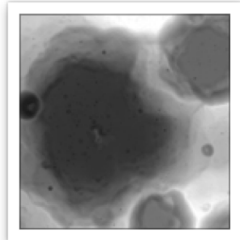
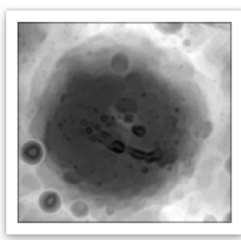
N08.3434229605\_E171.258891  
9261\_R021.325...\_c0.99919.png

N08.4843969345\_E089.54429  
50726\_R080.71...\_c0.99866.png

N08.7931823730\_E084.075023  
5319\_R155.773...\_c0.99998.png

N09.6030771732\_E340.68963  
28926\_R114.30...\_c0.99804.png

N09.7021517158\_E113.044639  
8258\_R092.46...\_c0.99999.png



N10.0703206658\_E164.127029  
4040\_R100.84...\_c0.99985.png

N10.2958858013\_E097.164649  
9634\_R065.96...\_c0.64374.png

N10.3255748749\_E122.066775  
7839\_R106.170...\_c0.99994.png

N10.3329202533\_E267.680997  
1433\_R010.393...\_c0.73063.png

N10.4559686780\_E156.677749  
8621\_R023.39...\_c0.99958.png

N10.4810744524\_E214.731245  
0409\_R080.13...m\_c0.91934.png

総数約40,000件のうち、約600件を中央丘クレーターと分類

目視による最終確認を経て、目録作成見込み

# まとめ, 今後の課題

# まとめ

- 月全球のDEMデータを利用し，中央丘クレーターの探索を行った
- クレーター抽出において，SSDによる高速な検出手法を試用
- クレーターの分類にDenseNetを使用，90%越えの精度を記録
- 600件ほど中央丘クレーターと思しきもののリストアップに成功，中央丘クレーターカタログの仮案作成への見通しが立った

# 今後の課題

- SSDによるクレーター抽出の精度検証
- 分類モデルの変数最適化
  - 今回抽出された中央丘クレーターを精査し、  
確実に中央丘クレーターであるものを評価用教師データに加える事で、「中央丘クレーター分類に強い」形に学習
- 分類モデルの可視化
  - (Guided) Grad-CAM等のCNN可視化手法により、  
分類器が中央丘という特徴を捉えられているか、  
どう捉えているかを検証